УДК 541.04.057; 678.6/7; 66.095.264.3

ОБРАТНЫЕ ЗАДАЧИ ФОРМИРОВАНИЯ МОЛЕКУЛЯРНО-МАССОВОГО РАСПРЕДЕЛЕНИЯ В ПРОЦЕССАХ ПОЛИМЕРИЗАЦИИ

Т. С. Усманов¹, А. С. Усманов², С. М. Усманов², А. Г. Ягола³

В работе предлагается устойчивый численный метод решения обратной задачи нахождения распределения макромолекул различной длины в полимере из анализа экспериментальной кривой молекулярно-массового распределения. Рассматривается интегральное уравнение Фредгольма первого рода, в качестве ядра которого использована функция распределения Флори. Приведен пример решения задачи определения молекулярно-массового распределения в процессе ионно-координационной полимеризации изопрена. Предложена бимодальная модель данного процесса и определены кинетические характеристики каждого из двух типов активных центров, возни-кающих при полимеризации изопрена. Работа выполнена при финансовой поддержке РФФИ (код проекта 05–01–97928).

Ключевые слова: численные методы, обратные задачи, интегральные уравнения, распределение макромолекул, функция распределения Флори, полимеризации изопрена.

1. Введение. Полимеризация — цепной процесс, при котором макромолекула образуется путем последовательного присоединения молекул мономера к растущему активному центру. В результате реакции полимеризации образуются высокомолекулярные соединения, отличительной особенностью которых является то, что они состоят из совокупности макромолекул различных длин [1-5], имеющих, соответственно, различные молекулярные массы (M_i) :

$$M_i = m_0 n_i, (1)$$

где m_0 — молекулярная масса мономера, n_i равно числу мономеров в цепи, т.е. принимает целочисленные значения. Для полной молекулярно-массовой характеристики полимеров необходимо знание функции их молекулярно-массового распределения (ММР). Различают дифференциальные и интегральные функции ММР, в свою очередь каждая из них может быть численной или массовой в зависимости от того, численная или массовая доля используется при рассмотрении средних массовых характеристик макромолекул. Очевидно, что эти два способа усреднения (по числу и по массе) не эквивалентны. В настоящей работе рассматриваются дифференциальные функции ММР.

Если известно, сколько имеется молекул n_i данной молекулярной массы M_i , то для характеристики полимера можно построить численную функцию распределения по молекулярной массе $q_n(M)$. Пусть dn — численная доля макромолекул, молекулярная масса которых лежит в интервале от M до M+dM. Поскольку диапазон изменений молекулярных масс полимера очень широкий (от 10^2 до 10^7) и $\frac{n_i}{n_0} \to dn$, где n_0 — общее число макромолекул, то величину M считают непрерывно изменяющейся. Тогда непрерывная функция распределения молекулярных масс определяется как плотность вероятности существования макромолекул в интервале от M до M+dM.

Введем функцию

$$q_n(M) = \frac{dn}{dM}, \qquad (2)$$

которая называется дифференциальной функцией численного распределения молекулярных масс. Зная распределение $q_n(M)$, можно оценить усредненную характеристику, называемую среднечисленной молекулярной массой:

$$M_n = \int_0^\infty Mq_n(M) \, dM. \tag{3}$$

¹ ООО "ЮНГ-НТЦ Уфа", ул. Революционная, 96/2, 450078, г. Уфа; e-mail: usmanovts@ufantc.ru

² Бирская государственная социально-педагогическая академия, ул. Интернациональная, 10, 452453, г. Бирск; e-mail: usm@birsk.ru

³ Московский государственный университет им. М. В. Ломоносова, физический факультет, Ленинские горы, 119992, Москва; e-mail: yagola@inverse.phys.msu.su

[©] Научно-исследовательский вычислительный центр МГУ им. М.В. Ломоносова

Эта характеристика определяет средний размер (длину цепи) макромолекул данного полимера.

По аналогии можно ввести дифференциальную функцию массового распределения. Пусть dw — массовая доля макромолекул, молекулярная масса которых лежит в интервале от M до M+dM; тогда $q_w(M)=\frac{dw}{dM}$. При обработке экспериментальных ММР-полимеров вычисляется среднемассовая функция распределения, или дифференциальная функция массового распределения:

$$q_w(M) = \frac{M}{M_n} q_n(M). \tag{4}$$

На практике именно это распределение $q_w(M)$ обычно называют MMP полимера. Вид MMP определяется многими факторами, но в первую очередь набором элементарных реакций (кинетической схемой) полимеризационного процесса. Например, можно гипотетически представить следующую схему процесса ионно-координационной полимеризации изопрена с участием алюминийорганических соединений (AOC) в качестве катализатора:

- 1) $I \xrightarrow{k_i} P_1$ реакция инициирования;
- 2) $P_i + M \xrightarrow{k_p} P_{1+1}$ реакция роста цепи;
- 3) $P_i + M \xrightarrow{k_m} Q_i + P_1$ реакция передачи цепи на мономер;
- 4) $P_i + A \xrightarrow{k_a} Q_i + P_1$ реакция передачи цепи на АОС и образования активного центра (АЦ);
- 5) $P_i \xrightarrow{k_d} Q_i$ реакция гибели АЦ.

Здесь P_i и Q_i — растущая и "мертвая" полимерные цепи длины i, а k_i , k_p , k_m , k_a , k_d — константы скоростей вышеприведенных элементарных стадий 1-5 соответственно.

Очевидно, что размер образующихся макромолекул, а соответственно, и вид ММР будет определяться соотношением скоростей реакций роста цепи (V_p) и реакций, приводящих к обрыву (ограничению длины) макромолекулярной цепи (V_o) . В представленной схеме реакциями обрыва цепи являются реакции передачи на АОС и на мономер и реакция гибели АЦ. Введем статистический параметр полимеризации λ , который обратно пропорционален M_n :

$$\lambda = \frac{\sum_{k} V_{ok}}{m_0 V_p} = \frac{1}{m_0 M_n} \,, \tag{5}$$

где индекс k определяет вид реакции ограничения цепи. Таким образом, анализ кривых ММР и знание величин M_n позволяет установить схему полимеризационного процесса.

Форма кривой MMP зависит от способа синтеза полимера, обычно она меняется в процессе его переработки и эксплуатации. Кривые MMP могут быть уни- или полимодальными и описываются различными закономерностями. В частности, для описания унимодальной кривой можно использовать распределение Флори

$$q_w(M) = \lambda^2 M \exp(-\lambda M). \tag{6}$$

Однако для большинства реальных полимерных материалов кривые ММР не описываются уравнением (6), а представляют собой полимодальные кривые распределения, состоящие из ряда максимумов, образующихся вследствие существования в системе некоторого распределения центров полимеризации и, следовательно, ряда макромолекул различной длины. Другими словами, в полимерной системе сосуществуют различные типы АЦ, отличающиеся своими кинетическими параметрами. Молекулярно-массовые распределения, соответствующие различным центрам полимеризации, накладываются друг на друга и дают суммарную "размытую" кривую ММР. По таким суммарным экспериментальным кривым распределения трудно идентифицировать конкретную схему кинетики полимеризации и состав исследуемого полимера, а следовательно, невозможно однозначно оценить кинетические параметры процесса полимеризации. Таким образом, возникает задача нахождения функции распределения макромолекул различной длины в данном полимере из анализа экспериментальной кривой ММР. Решение этой задачи позволяет определить количество типов АЦ, участвующих в полимеризационном процессе, и найти далее их кинетические параметры.

- 2. Постановка обратной задачи. В основе математической модели лежат следующие положения:
- а) *i*-й активный центр характеризуется своим статистическим параметром полимеризации λ_i ;
- б) существует некоторое распределение активных центров по параметру λ , обозначаемое $\varphi(\lambda)$;
- в) каждый тип активных центров порождает фракцию молекулярных масс, кривая ММР которой описывается некой функцией $K(\lambda, M)$, а суммарное ММР полимера представляет собой суперпозицию этих распределений;

г) модель не рассматривает диффузионные ограничения и считается, что неоднородность активных центров проявляется в пространстве и не зависит от времени.

В этом случае обратная задача интерпретации молекулярно-массового распределения сводится к решению интегрального уравнения Фредгольма первого рода

$$q_w(M) = \int_0^\infty \varphi(\lambda) K(\lambda, M) \, d\lambda,\tag{7}$$

где ядро $K(\lambda,M)$ — функция, отражающая конкретный механизм полимеризационного процесса, $\varphi(\lambda)$ — искомая функция распределения центров полимеризации, $q_w(M)$ — экспериментальная кривая MMP изучаемого полимерного образца, определенная со среднеквадратичной ошибкой δ .

Восстановление функции распределения $\varphi(\lambda)$ по приближенным значениям экспериментальной кривой ММР $q_w(M)$ является обратной задачей. Сложность численного решения интегрального уравнения (1) относительно $\varphi(\lambda)$ заключается в том, что при обычных выборах норм в пространстве решений данная задача относится к классу некорректно поставленных [6, 7], т.е. малым возмущениям входных данных $q_w(M)$ могут соответствовать как угодно большие отклонения решения $\varphi(\lambda)$.

Решение обратной задачи ММР подразумевает отыскание функции распределения активных центров полимеризации $\varphi(\lambda)$, а также определение количества типов АЦ, сосуществующих в полимеризационной системе, и расчет кинетических характеристик (констант элементарных реакций) каждого типа центра полимеризации [8–11]. Набор кинетических констант определяется кинетической схемой полимеризационного процесса, которая для рассматриваемой в данной работе ионно-координационной полимеризации представлена системой химических уравнений (1)-(5). Информация о количестве типов активных центров полимеризации, их кинетических параметрах дает возможность, во-первых, более четко обосновать строение центров ионно-координационной полимеризации и, во-вторых, создать адекватные модели полимеризации для оптимизации промышленных процессов получения полимеров.

На практике обратную задачу MMP целесообразно рассматривать в логарифмических координатах, поскольку экспериментальная кривая MMP q_w определяется в логарифмических координатах. Использование равномерной дискретизации при численном решении уравнения (7) приводит к потере информации в области низких молекулярных масс.

После перехода к новым переменным $x = \ln M$ и $s = \ln \lambda$ интегральное уравнение (7) принимает вид

$$q_w(x) = \int_{-\infty}^{\infty} \psi(s)K(s,x) ds, \tag{8}$$

где K(s,x) — ядро интегрального уравнения (8). Соответствующие функции распределения центров полимеризации $\varphi(\lambda)$ и $\psi(s)$ взаимосвязаны условием нормировки

$$\int_{0}^{\infty} \varphi(\lambda) d\lambda = \int_{-\infty}^{\infty} \psi(s) ds = 1, \tag{9}$$

где $\psi(s) = \lambda \varphi(\lambda)$. Ядро интегрального уравнения (8) имеет вид $K(s,x) = \exp\left[2(s+x) - \exp\left(s+x\right)\right]$.

- **3.** Априорная информация об искомом решении. Для нахождения устойчивого решения обратной задачи (8) с помощью метода регуляризации А. Н. Тихонова [6, 7] предлагается использовать следующую априорную информацию об искомом решении $\psi_{\alpha}(s)$:
- а) решение должно принадлежать к классу гладких функций в пространстве, интегрируемых с квадратом вместе с первой производной от $-\infty$ до ∞ ;
- б) решение должно быть таким, чтобы норма невязки не превышала ошибки экспериментальных измерений: $\| \widehat{A} \psi(s) q_w(x) \|^2 \leqslant \delta^2;$
 - в) решение должно удовлетворять условию нормировки (9);
 - г) решение должно быть неотрицательным для любых $s \in (-\infty, \infty)$.

Численное решение интегрального уравнения Фредгольма первого рода (8) проводилось с использованием программного обеспечения, описанного в монографиях [7, 12, 13]. Алгоритмы численного решения обратной задачи ММР представлены в работах [11, 14]. Для процессов ионно-координационной полимеризации в качестве ядра уравнения (7) используется функция (6).

4. Тестовый расчет. В качестве тестового расчета рассмотрен пример, когда функция распределения АЦ полимеризации $\psi(s)$ была задана в виде функции нормального распределения:

$$\psi_{\sigma}(s) = \frac{1}{\sigma\sqrt{2\pi}} \exp\left(-\frac{(s-s_0)^2}{2\sigma^2}\right),\tag{10}$$

где s_0 — значение переменной s, при котором наблюдается максимум функции распределения Гаусса, и σ — параметр ширины данного распределения. Решение искалось в интервале, выбранном из данных о средней молекулярной массе полимера: $a\leqslant s\leqslant b,\ a=-16,0,\ b=-8,0$. Удовлетворяющие этому интервалу решения $\psi_\sigma(s)$ были найдены для $\sigma=0,3$ и $s_0=-12,0$.

Для вычисления значений $q_w(x_i)=q_{0i}$ по формуле (8) с функцией распределения (7) использовался метод Симпсона. Эти значения возмущались с помощью датчика случайных чисел: $q_{\delta i}=q_{0i}+\delta \xi_i$, где ξ_i случайное число с нулевым математическим ожиданием и единичным среднеквадратичным значением. При этом дисперсия приближенных значений $q_{\delta i}$ равна δ^2 .

Численное решение тестового интегрального уравнения Фредгольма первого рода

$$q_{\delta i} \equiv q_w(\delta, x) = \int_{16.0}^{-8.0} \frac{1}{\sigma \sqrt{2\pi}} \exp\left(-\frac{(s+12.0)}{2\sigma^2}\right) \exp\left[2(s+x) - \exp\left(s+x\right)\right] ds$$

позволяет найти соответствующее решение в виде $\psi_{\delta i}$. Зная точные значения решения ψ_{0i} , рассчитанные по (10), легко оценить среднеквадратичное отклонение искомого решения δ_{ψ} . В частности, погрешность δ_{ψ} между точными значениями ψ_{0i} и приближенными значениями $\psi_{\delta i}$ при $\sigma=0,3,\ \delta=0,020$ и N=128 равна 0,048. При этом, естественно, учтена и исходная погрешность δ_{0} , оцененная для исходных значений q_{0i} .

Таким образом, тестовый расчет позволяет установить взаимосвязь между "коридорами" ошибок входного параметра $q_w(\delta, x_i)$ и соответствующих решений $\psi_{\sim}(\delta_{\sim}, s_i)$ интегрального уравнения (8).

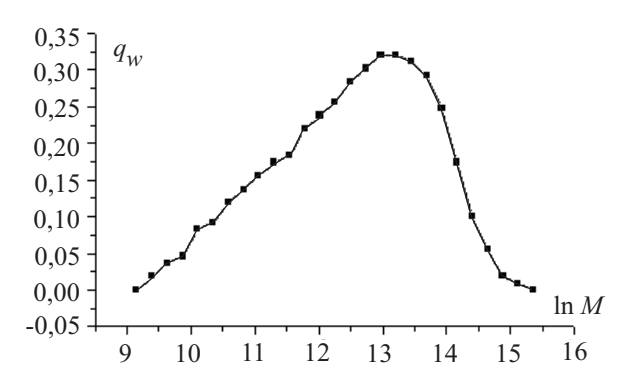


Рис. 1. Экспериментальная кривая ММР полиизопрена $q_w(\ln M)$

Рис. 2. Расчетная функция распределения полиизопрена $\psi(\ln M)$

5. Расчет функции распределения активных центров полимеризации изопрена. Предложенный метод был использован для решения обратной задачи интерпретации ММР для реакции полимеризации изопрена.

В качестве объектов исследования служили образцы полиизопрена при различных степенях конверсии (U,%), синтезированные в ЗАО "Каучук" (г. Стерлитамак). Полимеризация проводилась на каталитической системе ${\rm TiCl_4-Al}(i-{\rm C_4H_9})_3$ в изопентане при температуре 25° С. Концентрации реагентов составляли: для мономера $[{\rm M}]\equiv C_{\rm M}=1,5\,\frac{{\rm MOJIb}}{\pi}$, для катализатора $C_{\rm K}=10^{-3}\,\frac{{\rm MOJIb}}{\pi}$, для алюминийорганического соединения $C_{\rm AOC}=1,1\cdot 10^{-3}\,\frac{{\rm MOJIb}}{\pi}$, причем ${\rm Al}:{\rm Ti}=1,0:1,1$ [15, 16]. Кривые MMP для образцов полиизопрена были получены методом гельпроникающей хроматографии

Кривые ММР для образцов полиизопрена были получены методом гельпроникающей хроматографии на приборе ХЖ-1302, оснащенном четырьмя стирегелевыми колонками фирмы "Waters", с размерами $3,5\cdot 10^2-10^6$ \mathring{A} . Температура фракционирования составила 25° С. Методика учета приборного уширения гельхроматограмм полимерного образца ПИ приведена в [8]. Исходная нормированная экспериментальная кривая ММР исследуемого образца ПИ представлена на рис. 1.

Из численного решения интегрального уравнения $q_w(x)=\int_{-\infty}^{\infty}\,\psi(s)\exp\left[2(s+x)-\exp\left(s+x\right)
ight]ds$ была найдена $\psi(s)$ — бимодальная функция распределения АЦ (рис. 2).

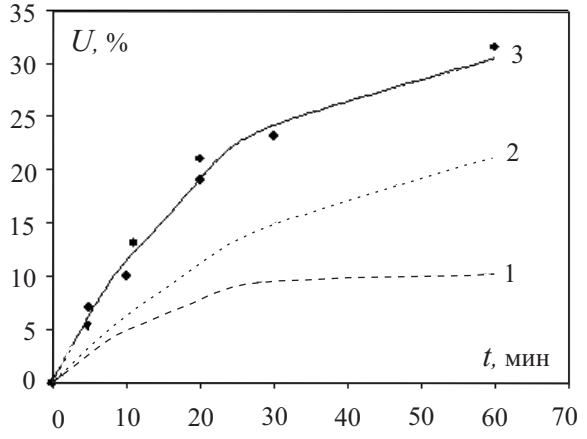


Рис. 3. Конверсионные кривые U(t) для 1-го АЦ (кривая 1), для 2-го АЦ (кривая 2) и для всего образца ПИ (кривая 3, где указаны экспериментальные точки)

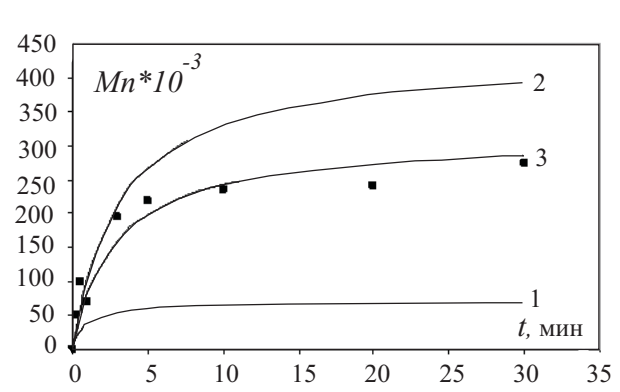


Рис. 4. Среднечисленные характеристики кривой ММР (M_n) для первого АЦ (кривая 1), для второго АЦ (кривая 2) и для всего образца ПИ (кривая 3, где указаны экспериментальные точки)

С помощью метода оптимизации Хука-Дживса [17] расчетная функция распределения $\psi(\ln M)$ была представлена в виде суперпозиции двух гауссовых кривых. Площади под каждой гауссовой кривой соответствуют массовым долям мономера, израсходованным на каждом типе АЦ ($S_1=0.34$ и $S_2=0.66$, так что $S_1+S_2=1$). Молекулярные массы ($\ln M_1=11.2$ и $\ln M_2=13.3$), на которых наблюдаются максимумы кривой распределения $\psi(\ln M)$, представляют собой наиболее вероятные молекулярные характеристики каждого типа АЦ.

Таким образом, реакцию полимеризации изопрена на титансодержащих катализаторах можно представить в виде процесса, в котором сосуществуют два типа АЦ.

Кинетические характеристики процесса ионно-координационной полимеризации изопрена на каталитической системе ${\rm TiCl_4-Al}(i-C_4H_9)_3\ {\rm пр}\ T=25^\circ\ {\rm C}$

Константы	1-ый АЦ	2-ой АЦ	Суммарная характеристика
$k_p, \left(\frac{\Pi}{\text{моль} \cdot \text{мин}}\right)$	920	1350	1080
$k_{\mathrm{M}},\;\left(\frac{\pi}{\text{моль}\cdot\text{мин}}\right)$	0,9	0,2	0,6
$k_{\mathrm{A}}, \; \left(\frac{\mathrm{Л}}{\mathrm{МОЛЬ} \cdot \mathrm{МИН}}\right)$	5,0	5,0	5,0
$k_d, \; \left(\frac{1}{\text{мин}}\right)$	0,010	0,021	0,014

6. Расчет констант скоростей элементарных реакций ионно-координационной полимеризации. Анализ распределений активных центров полимеризации при различных степенях конверсии мономера позволяет рассчитать долю (рис. 3) и средние молекулярные характеристики (рис. 4) полимера, синтезированного на каждом типе АЦ. Полученных зависимостей достаточно для расчета кинетических параметров каждого типа АЦ.

Эти кинетические характеристики находятся путем минимизации следующего функционала [3]:

$$\sum_{i=1}^{n} \left(U_{\text{ЭКСII}}(t_i) - \left(1 - \exp\left(-k_p C_{a0} e^{-k_d t_i} t_i \right) \right) \right)^2, \tag{11}$$

где C_a — концентрация активных центров полимеризации, n — количество экспериментальных точек, $U_{\text{ЭКСП}}(t_i)$ представлены на рис. 3.

Расчетные кинетические параметры — константы k_{pj} , k_{dj} и C_{aj} для каждого типа АЦ — представлены в таблице.

Значения констант k_{Mj} и k_{Aj} для рассматриваемого процесса определялись путем минимизации функционала

$$\sum_{i=1}^{n} \left(M_{n \, \text{SKCII}, j}(t_i) - M_{n \, \text{pacy}, j}(t_i) \right)^2. \tag{12}$$

Функционалы (11) и (12) подробно рассмотрены в [4]. Экспериментальные значения среднечисленной характеристики образцов ПИ приведены на рис. 4.

Кинетические константы скоростей реакций передачи цепи для каждого из двух типов АЦ образцов ПИ, синтезированных на титансодержащих каталитических системах, представлены в таблице.

Предложенная выше методика расчета кинетических характеристик носит общий характер и может быть использована для анализа полимеризационных процессов различной природы.

7. Выводы. Предложена методика численного решения обратной задачи нахождения функции распределения макромолекул различной длины в полимере из анализа экспериментальной кривой ММР. В качестве приложения рассмотрена важная практическая задача ионно-координационной полимеризации диенов. Выполнен анализ кинетической неоднородности активных центров титансодержащей каталитической системы в процессе полимеризации изопрена. Установлено существование в реактивной системе двух типов активных центров полимеризации. Рассчитаны константы скоростей реакций роста цепи (k_p) , реакций передачи цепи на мономер $(k_{\rm M})$, передачи цепи на АОС $(k_{\rm A})$, реакции гибели центров полимеризации (k_d) и соответствующие концентрации (C_a) для каждого типа АЦ.

СПИСОК ЛИТЕРАТУРЫ

- 1. Берлин А.А., Вольфсон С.А., Ениколопян Н.С. Кинетика полимеризационных процессов. М.: Химия, 1978.
- 2. Бартенев Г.М., Френкель С.Я. Физика полимеров. Л.: Химия, 1990.
- 3. Будтов В.П. Физическая химия растворов полимеров. СПб.: Химия, 1992.
- 4. Рафиков С.Р., Будтов В.П., Монаков Ю.Б. Введение в физико-химию растворов полимеров. М.: Химия, 1978.
- 5. Френкель С.Я. Введение в статистическую теорию полимеризации. М.: Наука, 1965.
- 6. Тихонов А.Н., Арсенин В.Я. Методы решения некорректных задач. М.: Наука, 1986.
- 7. Tихонов А.Н., Гончарский А.В., Степанов В.В., Ягола А.Г. Численные методы решения некорректных задач. М.: Наука, 1990.
- 8. Усманов Т.С., Спивак С.И., Усманов С.М. Обратные задачи формирования молекулярно-массовых распределений. М.: Химия, 2004.
- 9. *Сигаева Н.Н.*, *Усманов Т.С.*, *Широкова Е.А.*, *Будтов В.П.*, *Спивак С.И.*, *Монаков Ю.Б.* О распределении по активности ионно-координационных каталитических систем при полимеризации диенов // Докл. РАН. 1999. **365**, № 2. 221–224.
- 10. Усманов Т.С., Гатауллин И.К., Усманов С.М., Спивак С.И., Монаков Ю.Б. О решении обратной задачи формирования молекулярно-массовых распределений при ионно-координационной полимеризации // Докл. РАН. 2002. **385**, № 3. 368–371.
- 11. Усманов А.С., Исмаилов Р.Р., Усманов Т.С., Спивак С.И., Усманов С.М. Модельные функции в некорректно поставленной задаче формирования ММР // Башкирский химический журнал. 2005. **12**, № 2. 67–74.
- 12. Усманов С.М. Релаксационная поляризация диэлектриков. Расчет спектров диэлектрической релаксации. М.: Наука, 1996.
- 13. *Usmanov S.M.*, *Zaikov G.E.* Numerical methods of solving ill-posed problems of dielectric spectrometry. New York: Nova Science Publishers, Inc., 2002.
- 14. Усманов А.С., Спивак С.И., Насыров И.Ш., Усманов С.М. Расчет функции распределения активных центров в процессе ионно-координационной полимеризации // Системы управления и информационные технологии. 2004. № 4(11). 34–38.
- 15. Усманов Т.С., Саитова Ф.Ф., Ионова И.А., Глухов Е.А., Гареев А.Р., Баженов Ю.П., Насыров И.Ш., Мона-ков Ю.Б. Влияние модификации электронодонорами каталитических систем на основе TiCl₄ на кинетические параметры полимеризации, молекулярные характеристики полиизопрена и кинетическую неоднородность катализатора // Высокомолек. соед. Серия А. 2004. 46, № 1. 110–115.
- 16. Усманов А.С. Модельные функции в обратных задачах молекулярно-массового распределения / Автореферат на соискание уч. ст. канд. ф.-м. наук. Уфа: БГУ, 2005.
- 17. Банди Б. Методы оптимизации. Вводный курс. М.: Радио и связь, 1980.

Поступила в редакцию 24.10.2006